

مطالعه تجزیه فتوکاتالیزوری رنگزاهای راکتیو از پساب‌های نساجی: مدل‌سازی عددی اجزای محدود و کارهای تجربی

خشاپار بدیعی^{*}

badii@icrc.ac.ir

فرامزد دولتی اردنه‌جانی^۲

سید ضیاء الدین شفایی تنکابنی^۳

نیاز محمد محمودی^۴

فرخ لقا امینی^۴

تاریخ پذیرش: ۱۶/۱۲/۸۶

تاریخ دریافت: ۲۰/۹/۸۶

چکیده

پساب‌های محتوی رنگزاهای راکتیو که ممکن است از صنایع مختلف تولید شود اثرات و پیامدهای زیست محیطی بسیاری به همراه دارد. از این رو بررسی امکان حذف این مواد رنگی از پساب‌ها قبل از تخلیه آن‌ها به محیط زیست اطراف از اهمیت اساسی برخوردار است. در این تحقیق یک مدل ساده ریاضی که به روش عددی اجزاء محدود بسط داده شده است، ارایه شده که قادر است فرآیند حذف مواد رنگی راکتیو را از پساب‌های صنعتی شبیه سازی نماید. مدل ریاضی ارایه شده توسط ترکیبی از نرم افزارهای SEEP/W و CTRN/W حل شده است. مدل ابتدا توسط یک مثال در مورد حمل یک ماده آلاینده در سیستم جریان آب در یک محیط متخلخل که به دو روش عددی و تحلیلی بررسی شده است، کالیبره شد. پس از کالیبراسیون مدل، نتایج حاصل از مدل‌سازی با نتایج به دست آمده از یک تحقیق در مقیاس آزمایشگاهی جهت حذف یک رنگزای سیباکرونی راکتیو نارنجی ۱۰۷ با فتوکاتالیز ($UV/TiO_2/H_2O$) در یک راکتور تاپیوسته (Batch reactor) و همچنین با نتایج حاصل از حل تحلیلی مدل مقایسه شد و همپوشانی مناسبی به دست آمد. بررسی‌های تجربی نشان داد که رنگزاهای سیباکرونی همچون رنگزای راکتیو نارنجی ۱۰۷ در اثر تابش فرابنفش و در حضور فتوکاتالیزور و عامل اکسید کننده همچون آب اکسیژن کاملاً رنگ بری شده و به ترکیبات معدنی تبدیل می‌شوند. اگرچه تولید چنین پساب‌هایی توسط صنایع مختلف تقریباً اجتناب ناپذیر است، ولی با استفاده از نتایج حاصل از چنین شبیه‌سازی‌هایی می‌توان به طراحی مناسب برنامه‌های مدیریت زیست محیطی پساب‌های صنعتی به منظور به حداقل رساندن اثرات نامطلوب آن پرداخت.

واژه‌های کلیدی: تصفیه فتوکاتالیزوری، مدل‌سازی عددی، روش اجزای محدود، پساب‌های محتوی مواد رنگی، رنگزاهای راکتیو،

CTRN/W، SEEP/W

۱- استادیار، پژوهشگاه علوم و فناوری رنگ، گروه پژوهشی رنگ و محیط‌زیست^{*} (مسئول مکاتبات)

۲- دانشیار، دانشگاه صنعتی شاهرود، دانشکده مهندسی معدن، نفت و ژئوفیزیک

۳- استاد، دانشگاه صنعتی شاهرود، دانشکده مهندسی معدن، نفت و ژئوفیزیک

۴- کارشناس ارشد، پژوهشگاه علوم و فناوری رنگ، گروه پژوهشی رنگ و محیط‌زیست

مقدمه

است (۱۵). تقسیم مدل به اجزای محدود و تعیین برخی از خصوصیات فیزیکی سیستم تحت مدل‌سازی در محیط نرم افزار SEEP/W انجام می‌شود، ولی شبیه‌سازی حذف مواد رنگی از پساب‌ها با استفاده از نرم افزار CTRN/W و اطلاعات خروجی از نرم افزار SEEP/W صورت می‌پذیرد.

SEEP/W یک نرم افزار گرافیکی ۳۲ بیتی است که تحت سیستم‌های عامل ویندوز ۹۵، ۹۸، Me، ۲۰۰۰ و XP کار می‌کند. این برنامه برای تحلیل جریان آب در سدهای خاکی و محیط متخلخل زیر زمین تهیه شده است. دامنه کاربرد این نرم افزار طرح‌های مختلف ژئوتکنیکی، هیدرولوژیکی، مهندسی عمران، شیمی و معدن است (۱۵). از این نرم افزار همچنین جهت شبیه‌سازی مشکلات آب در معدن استفاده شده است (۱۶ و ۱۷). در این تحقیق از نرم افزار SEEP/W برای ایجاد مدل یک بعدی راکتور و تقسیم آن به قسمت‌های کوچک استفاده شده است. در صورتی که در سیستم تحت مدل‌سازی جریان سیال مطرح باشد، از این نرم افزار برای حل معادله اساسی جریان آب و تولید مؤلفه‌های سرعت استفاده می‌گردد.

CTRN/W نیز یک نرم افزار اجزای محدود می‌باشد که قادر است حرکت آلاینده‌ها را در محیط‌های متخلخل، همچون سنگ و خاک، شبیه‌سازی نماید. در این شبیه‌سازی‌ها از فرآیندهای مختلفی همچون نفوذ (diffusion)، پراکندگی (dispersion)، جذب‌سطحی (adsorption) و فرآیندهای تلاشی رادیواکتیوی (radioactive decay) و فرآیندهای time and density (dependencies) می‌توان استفاده کرد (۱۵). این نرم افزار می‌تواند در صورت نیاز مؤلفه‌های سرعت محاسبه شده توسط نرم افزار SEEP/W را دریافت نموده و حرکت آلاینده‌ها را در محیط‌هایی که در آن‌ها سیال جریان دارد مدل‌سازی نماید.

فعالیت‌های صنعتی، اغلب موجب بروز مشکلات آلودگی و تبعات زیست محیطی می‌شوند. صنایع نساجی نیز از این قاعده مستثنی نبوده و مقادیر زیادی پساب‌های آلوده که در مواردی حاوی فلزات سنگین هستند، تولید می‌کنند که اگر قبل از این‌که تصفیه شوند به محیط زیست اطراف تخلیه گردد، خدمات و ضایعات جبران ناپذیری را به بار خواهد آورد (۱، ۲ و ۳). در سراسر دنیا محققان به دنبال یافتن روش‌های مناسب جهت تصفیه پساب‌های آلوده هستند. تاکنون فرآیندهای فیزیکی و شیمیایی مختلفی برای این منظور استفاده شده است. که در این فرآیندها از روش‌هایی چون تهشین شدن و رسوب گذاری مستقیم آلاینده‌ها (۴)، فتوکاتالیز (۳، ۵ و ۶)، جذب سطحی (۷)، ترکیب جذب و فتوکاتالیز (۸) و غیره استفاده شده است.

مدل‌ها به عنوان یک ابزار مناسب در پیش‌بینی بسیاری از پیامدهای زیست‌محیطی نقش بهسازی‌ای بازی می‌کنند. یک مدل، الگو و نماینده‌ای از آنچه در یک سیستم واقعی اتفاق می‌افتد است. هدف اصلی مدل‌سازی این است که فهم و بینش ما را در باره فرآیندهایی که در داخل یک سیستم واقعی در حال وقوع است، افزایش دهد و چگونگی رفتار سیستم را در آینده پیش‌بینی نماید. به کمک مدل‌ها می‌توان نحوه اجرای روش‌های تصفیه و کم کردن اثرات آلودگی را طراحی، بهینه‌سازی و دقیقاً پیش‌بینی نمود (۹).

مدلسازی اثرات زیست‌محیطی پساب‌های صنعتی، به خصوص صنایع معدنی، توسط محققان زیادی انجام گرفته است (۱۰، ۱۱، ۱۲ و ۱۳). در صنایع رنگ و نساجی با وجود کارهای تجربی فراوانی که برای به حداقل رساندن اثرات زیست‌محیطی پساب‌ها انجام یافته، ولی در خصوص مدل‌سازی فرآیندهای رنگبری تحقیقات کمتری صورت پذیرفته است (۱۴) و کار در این زمینه ضروری است. در این مقاله روشی جهت مدل‌سازی تصفیه مواد رنگی راکتیوی از پساب‌های صنایع نساجی ارایه شده است. مدل‌سازی به روش عددی اجزای محدود و به کمک ترکیبی از نرم‌افزارهای CTRN/W و SEEP/W انجام گرفته

$$\frac{\partial C}{\partial t} = -kC \quad (3)$$

که در آن k ضریب نرخ کاهش درجه اول است. اگر چه می‌توان معادله ۳ را با نوشتن یک برنامه ساده کامپیوتراً حل نمود، ولی با توجه به این‌که هدف اصلی، توسعه مدل به حالات پیچیده‌تر، در یک محیط چهار بعدی (مکان و زمان) و شبیه‌سازی فرآیندهای مختلف زیستمحیطی در ارتباط با صنایع نساجی است که برنامه‌نویسی آن‌ها وقت‌گیر بوده و با توجه به نرم‌افزارهای مناسب از نظر اقتصادی غیر موجه است، از این‌رو از نرم‌افزارهای معرفی شده در این مقاله استفاده گردید. در این‌جا فرض بر این است که نرخ رنگبری از مدل سرعت درجه اول (first-order kinetic model) تبعیت می‌کند. برای آن‌که بتوان معادله ۳ را توسط نرم‌افزار CTRN/W حل نمود، آب محتوی حجمی برابر واحد و ρ_d نیز صفر فرض می‌شود. با توجه به این‌که شبیه‌سازی در درون یک راکتور ناپیوسته در فاز آبی انجام می‌گیرد، بنابراین سرعت نیز صفر فرض می‌شود. همچنین با توجه به این فرض که ماده رنگزا به طور کامل و یکنواخت در پساب پخش شده است، بنابر این در این مدل‌سازی ضریب پراکندگی هیدرودینامیکی صفر فرض می‌گردد. به علاوه در این مورد فرآیند جذب سطحی مد نظر نیست که به راحتی می‌توان جمله مربوط به این فرآیند را در نرم افزار CTRN/W غیرفعال نمود. با این فرضیات مشخص است که معادله ۳ شکل ساده شده معادله ۲ خواهد بود.

کالیبراسیون مدل

قبل از انجام مدل‌سازی عددی اجزای محدود برای تصفیه پساب‌های حاوی رنگزای راکتیو، مدل ابتدا برای یک مشکل زیستمحیطی مربوط به حمل یک ماده آلاینده در سیستم جریان آبهای زیر زمینی به کار گرفته شد. در این مثال فرآیندهای جذب سطحی و تخریب رادیواکتیوی نادیده در نظر گرفته شد و فرض گردید که مهاجرت ماده واکنش کننده تنها توسط فرآیندهای پهنه‌فت (advection) و پراکندگی هیدرودینامیکی کنترل می‌شود. نتایج حاصل از مدل‌سازی با نتایج به دست آمده از معادله تحلیلی زیر (۱۷) مقایسه گردید.

ابزار مدل‌سازی

چنان‌که گفته شد، برای مدل‌سازی فرآیند تصفیه مواد رنگی راکتیو از پساب‌های صنایع نساجی از ترکیب نرم‌افزارهای CTRN/W و SEEP/W استفاده گردید. این نرم‌افزارها به ترتیب معادلات زیر را حل می‌کنند:

$$\frac{\partial}{\partial x} \left(K_x \frac{\partial h}{\partial x} \right) + \frac{\partial}{\partial y} \left(K_y \frac{\partial h}{\partial y} \right) = \frac{\partial \theta}{\partial t} - W \quad (1)$$

$$\left(\theta + \rho_d \frac{\partial S}{\partial C} \right) \frac{\partial C}{\partial t} = \theta D \frac{\partial^2 C}{\partial x^2} - U \frac{\partial C}{\partial x} - \lambda \theta C - \lambda S \rho_d \quad (2)$$

که در آن‌ها:

θ = آب محتوی حجمی

t = زمان

K_x, K_y = مولفه‌های ضریب نفوذ پذیری

x, y = مختصات کارتزین

C = غلظت

W = نرخ تغذیه یا تخلیه بر واحد حجم

ρ_d = تراکم کلی محیط متخلف

S = جذب سطحی

h = ارتفاع هیدرولیکی

D = ضریب پراکندگی هیدرودینامیکی

U = سرعت دارسی

λ = ضریب تخریب

معادله ریاضی

اگر در معادله ۲ از عبارت‌های پهنه‌فت ($U \frac{\partial C}{\partial x}$)، پراکندگی و

پخش مولکولی ($\theta D \frac{\partial^2 C}{\partial x^2}$) و جذب ($\lambda S \rho_d$) صرف نظر

شود در این صورت معادله ریاضی برای رنگبری رنگ‌ Zahای راکتیو شامل فرآیند اکسیداسیون فتوکاتالیزوری به صورت زیر ارایه می‌گردد:

در سیستم جریان برابر صفر در نظر گرفته شد (۴). تعداد گام‌های زمانی معادل ۵۰ در نظر گرفته شد. نتایج شبیه‌سازی برای گام‌های زمانی ۲۰، ۳۰، ۴۰ و ۵۰ که در زمان‌های ۲۰۰۰، ۳۰۰۰، ۴۰۰۰ و ۵۰۰۰ ثانیه به دست آمده است، با غلظت‌های محاسبه شده برای ماده آلانیندۀ توسط فرمول تحلیلی ۴ در شکل ۱ مقایسه شده است که توافق کاملاً نزدیک بین غلظت‌های پیش‌بینی شده توسط مدل اجزای محدود و روش تحلیلی مشاهده می‌گردد.

مطالعه موردنی و پارامترهای ورودی مدل
داده‌های ورودی مدل از نتیجه تحقیقات انجام یافته روی رنگبری پساب‌های نساجی به روش تصفیه فتوکاتالیزی انتخاب شده است. بحث کامل این تحقیق در مرجع شماره ۱ آمده است. در زیر بحث مختصری از روش کار آزمایشگاهی آمده است.

مواد و وسایل

- ﴿ آب اکسیژنه ۳۰ درصد (Merck)،
- ﴿ دی‌اکسید تیتانیوم (Merck)،
- ﴿ دو عدد لامپ فرابینفش ۱۵ وات (Philips)،
- ﴿ pH متر (Hach)،
- ﴿ دستگاه اسپکتروفوتومتر UV/Vis (Cecil 2021)،
- ﴿ پمپ هواهی (Hailea)،
- ﴿ پمپ شناور (Marquis-250L/H) و
- ﴿ رنگ‌زاهای سیباکرونی که در جدول ۱ مشخصات این رنگ‌زاهای آمده است.

$$C = \frac{C_0}{2} \left\{ erfc\left(\frac{x-Vt}{2\sqrt{Dt}}\right) + \exp\left(\frac{Vx}{D}\right) erfc\left(\frac{x+Vt}{2\sqrt{Dt}}\right) \right\} \quad (4)$$

که در آن:

C_0 = غلظت اولیه ماده آلانیندۀ

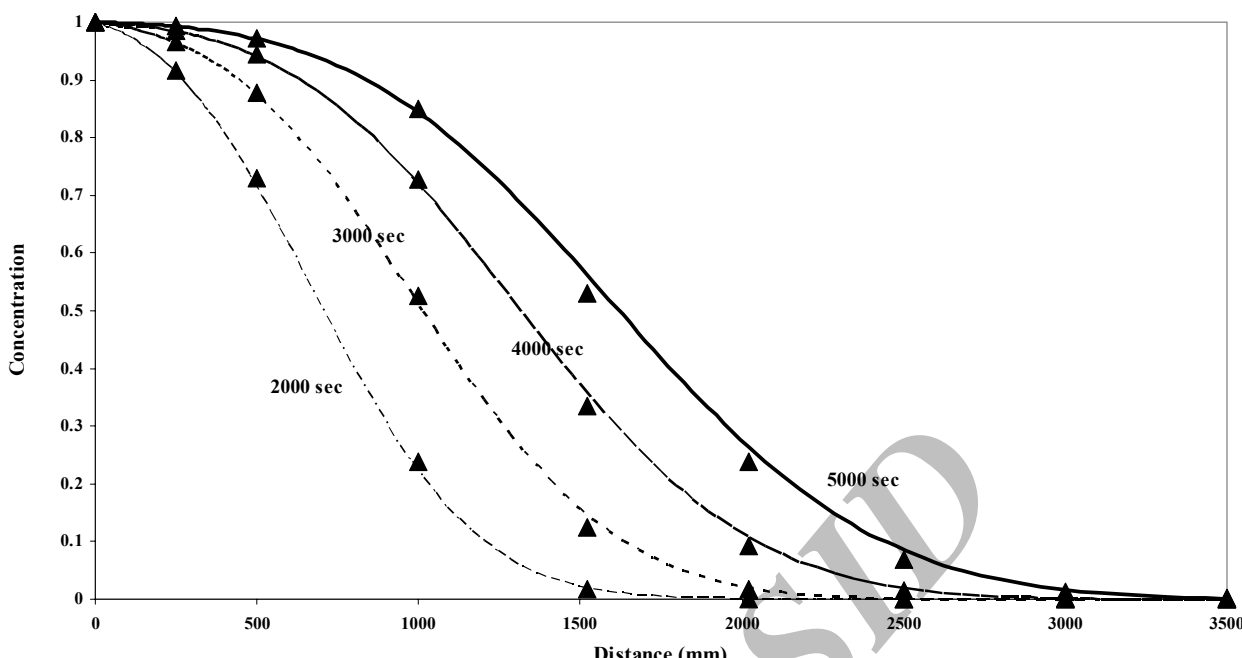
v = سرعت متوسط خطی

$erfc$ = تابع خطای مکمل (۱۸)

در این شبیه‌سازی یک بعدی، ابتدا یک ردیف تقسیمات با نرم‌افزار SEEP/W ایجاد شد. تقسیمات اجزای محدود شامل ۵۰ جزء و ۲۵۳ گره (node)، به طول ۳۵۰۰ میلی‌متر و به ارتفاع ۶۰ میلی‌متر است. آب محتوی حجمی به صورت یک مقدار ثابت برابر $1/5$ منظور شد. اختلاف ارتفاع هیدرولیکی در دو مرز مدل و ضریب نفوذپذیری طوری انتخاب شدند تا یک سرعت متوسط خطی برابر با $0/3$ در جهت حرکت از حل معادله اساسی جریان آب در محیط متخلخل محاسبه گردد. سپس مدل در حالت پایا (steady-state) اجرا شد. برای مدل‌سازی حمل آلانیندۀ از نرم‌افزار CTRN/W استفاده شد. یک ضریب پراکندگی (dispersivity) برابر ۱۵۰ میلی‌متر و ضریب پخش مولکولی (molecular diffusion) معادل صفر در نظر گرفته شد. در این صورت ضریب پراکندگی هیدرودینامیکی به صورت زیر محاسبه گردید:

$$D = \alpha_L v + D_{dif} = 150 \times 0.3 + 0 = 45 \text{ mm}^2 / \text{s} \quad (5)$$

در سمت چپ مدل (ورودی مدل) یک شرط مرزی با غلظت ثابت برابر با $C(0, t) = 1.0 \text{ mg / mm}^3$ انتخاب شد. در سمت راست یا خروجی مدل نیز یک شرط مرزی با غلظت ثابت برابر $C(\infty, t) = 0.0 \text{ mg / mm}^3$ انتخاب گردید. غلظت اولیه



شکل ۱- مقایسه غلظت‌های محاسبه شده به صورت تابعی از فاصله در چهار گام زمانی ۲۰۰۰، ۳۰۰۰، ۴۰۰۰ و ۵۰۰۰ ثانیه توسط روش‌های عددی اجزاء محدود (خطوط) و تحلیلی (▲).

استفاده شده است. محلول‌های رنگی رنگزاهای سیباکرونی با غلظت ۵۰ میلی گرم بر لیتر و به حجم ۵ لیتر حاوی آب اکسیژنه (H_2O_2) با غلظت‌های متفاوت به داخل فتوراکتور تزریق گردید. از آب اکسیژنه به عنوان عامل اکسید کننده استفاده شد. در طول فرآیند اکسیداسیون فتوکاتالیزوری محلول‌های مورد آزمایش هواده‌ی می‌شوند. در فواصل زمانی مختلف از محلول مورد آزمایش نمونه‌برداری شده و طیف UV-Vis آن با دستگاه رسم گردید تا میزان تجزیه رنگزا مورد بررسی قرار گیرد. pH محلول نیز در طول فرآیند تجزیه اندازه‌گیری شده است. آزمایش‌ها و اندازه‌گیری‌ها تحت شرایط دما و فشار آزمایشگاه انجام گرفت. داده‌های حاصل از این آزمایش تجربی در جدول ۲ خلاصه شده‌است.

مطالعات تجربی نشان داد که آب اکسیژنه اثرات مختلفی در فرآیند تجزیه فتوکاتالیزوری دارد. سرعت رنگبری رنگزاهای سیباکرونی با افزایش غلظت آب اکسیژنه از صفر تا ۳۰۰ mg/l افزایش می‌یابد حال آن‌که با بیشتر شدن غلظت

جدول ۱- مشخصات رنگزاهای سیباکرونی مورد استفاده در این تحقیق.

| نام عمومی رنگزا | نام تجاری رنگزا | گروه رنگزا |
|---------------------------|--------------------|--------------------------|
| C. I. Reactive Orange 107 | Cibacron Orange | - |
| C.I. Reactive Red 152 | Cibacron Red BE | آزو |
| C.I. Reactive Blue 8 | Cibacron Blue TGRE | آزو تری کلرو پیریمیدینیل |

در این مقاله نتایج مدل‌سازی عددی تنها با نتایج بدست آمده از فرآیند تجزیه فتوکاتالیزوری رنگزای راکتیو نارنجی ۱۰۷ (C. I. Reactive Orange 107) مورد مقایسه قرار گرفته است.

کارهای تجربی

در این بررسی جهت تصفیه پساب‌های محتوی رنگزاهای راکتیو از یک فتوراکتور کاتالیزوری مجهز به دو لامپ فرابنفش ۱۵ وات و فتو-کاتالیست دی اکسید تیتانیم

مرحله الف: ایجاد مدل اجزای محدود

در مرحله اول شبیه سازی، یک مدل تک بعدی متشکل از یک ردیف تقسیمات شامل ۵۰ جزء و ۲۵۳ گره به طول ۳۸۰ میلی‌متر و به ارتفاع ۴۰ میلی‌متر توسط نرم‌افزار SEEP/W ایجاد گردید. آب محتوی حجمی به صورت مقدار ثابت برابر ۱ وارد گردید. اختلاف ارتفاع هیدرولیکی در دو مرز مدل صفر انتخاب شد که این موضوع با قرار دادن دو مقدار مساوی ارتفاع (شرط مرزی ارتفاع ثابت) در دو انتهای مدل تأمین شد. معادله اساسی جریان آب در حالت پایا اجرا شد، در نتیجه سرعت متوسط خطی تقریباً برابر با صفر برای کلیه گره‌های سیستم حاصل گردید که این وضعیت برای شرایط موجود در داخل راکتور ناپیوسته ضمن انجام فرآیند رنگبری هماهنگی دارد. فایل مربوط به این مرحله از مدل‌سازی Reactor_ini.sez نامیده و ذخیره شد. شکل ۲ مدل اجزای محدود این شبیه‌سازی را نشان می‌دهد.

آب اکسیژنه از این مقدار تا 1200 mg/l تغییر چندانی در مدت زمان رنگبری حاصل نمی‌شود (۱).

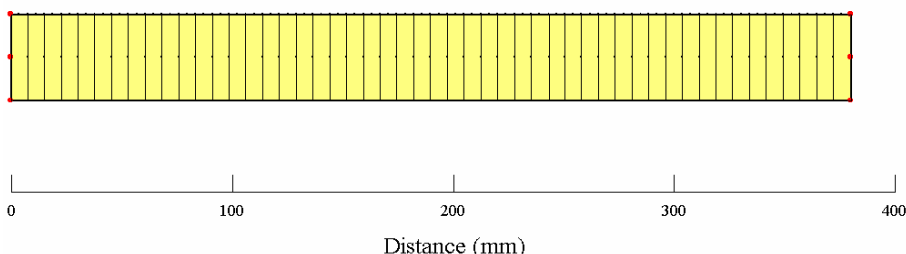
جدول ۲- داده‌های مربوط به نرخ رنگبری در فواصل زمانی مختلف برای غلظت آب اکسیژنه 300 mg/l (۱).

| فوائل زمانی نمونه برداری (دقیقه) | $k (\text{min}^{-1})$ | R^2 |
|-------------------------------------|-----------------------|-------|
| ۱۰ | ۰,۰۶۵۸ | ۱ |
| ۱۵ | ۰,۰۶۸۷ | ۰,۹۹۹ |
| ۲۰ | ۰,۰۷۶۵ | ۰,۹۸۹ |
| ۲۵ | ۰,۰۹۰۰ | ۰,۹۶۶ |
| ۳۰ | ۰,۱۰۳۹ | ۰,۹۵۶ |

روش مدل‌سازی فرآیند رنگبری

فرآیند مدل‌سازی حذف مواد رنگی راکتیو از پساب های نساجی در سه مرحله مختلف انجام پذیرفت که در ادامه مورد بررسی قرار می‌گیرد:

One Dimensional Batch reaction Simulation



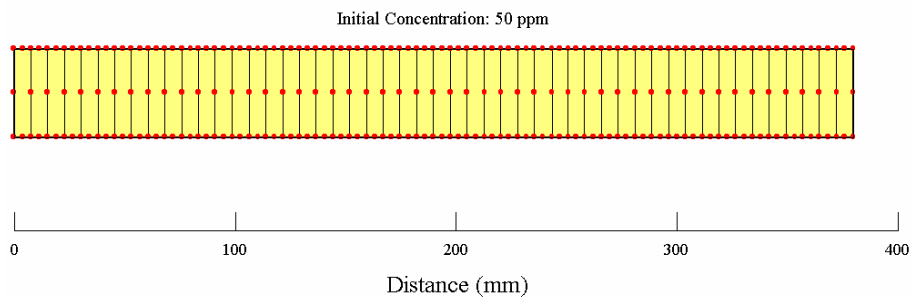
شکل ۲- مدل اجزای محدود فتوراکتور ناپیوسته.

مرحله ب: ایجاد شرایط اولیه مدل

مدل عدد ثابت ۵۰ میلی‌گرم بر لیتر لحاظ شد که بیانگر غلظت اولیه رنگزای راکتیو در محلول است. با انتخاب یک گام زمانی بسیار کوچک (1×10^{-2} ثانیه)، مدل در یک شرایط شبیه حالت پایا اجرا گردید (شکل ۳).

در مرحله دوم شبیه سازی، ابتدا فایل CTRN/W Reactor_ini.sez در محیط نرم‌افزار SEEP/W فرا خوانده شد و تحت نام Reactor_ini.ctz به عنوان یک شرط اولیه برای شبیه سازی اصلی ذخیره گردید. برای تمام گره‌های

One Dimensional Batch reaction Simulation



شکل ۳- مدل شرط اولیه.

مدل برداشته شده است. در این مرحله نتایج شبیه‌سازی مرحله

دوم (فایل Reactor_ini.ctz) به عنوان یک فایل اولیه فرا

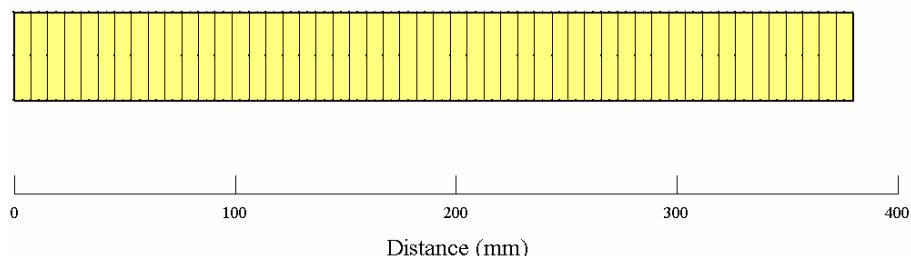
خوانده شد.

مرحله پ: مدل تابع زمان حذف ماده رنگزا

مرحله نهایی مدل‌سازی فرآیند رنگبری در شکل ۴

نشان داده شده است. غلظت اولیه ماده رنگزا از تمامی گرههای

One Dimensional Batch reaction Simulation



شکل ۴- مدل نهایی فرآیند رنگبری.

$$T = \frac{\ell n 2}{k} \times 60 \quad (6)$$

که در آن k بر حسب $\frac{1}{\text{min}}$ می باشد و T بر حسب ثانیه بیان می گردد.

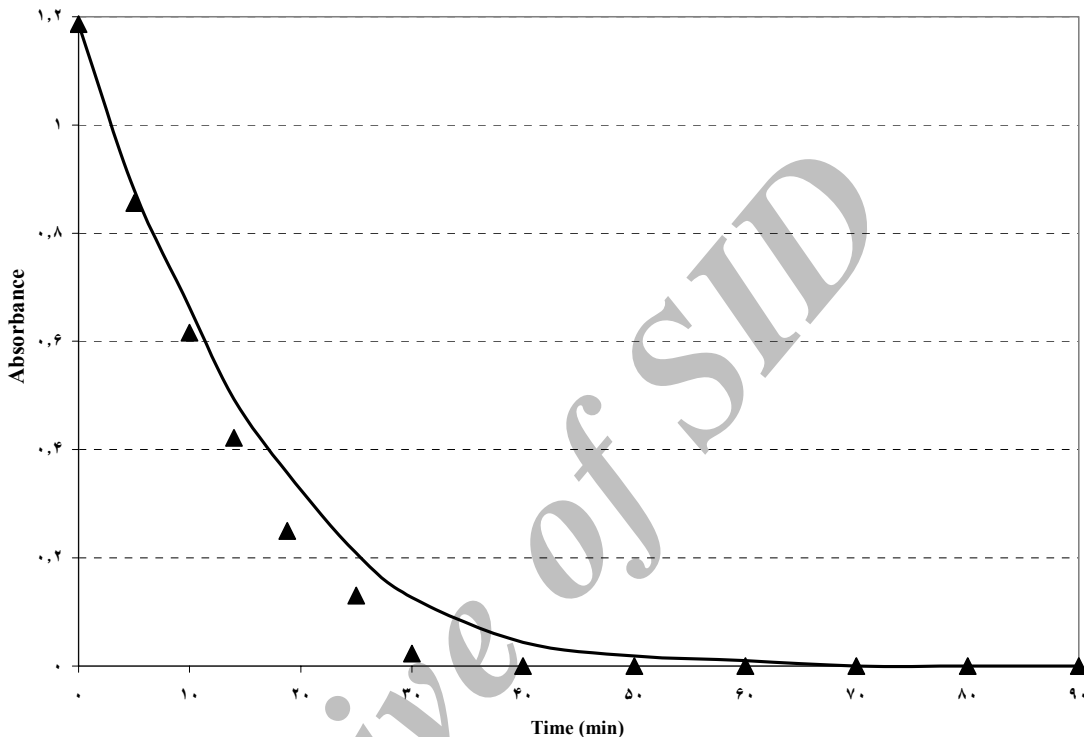
قبل ذکر است که در گام‌های زمانی مختلف اصلاحاتی بر اساس جدول ۱ روی k اعمال گردید تا مقادیر پیش‌بینی شده توسط مدل با نتایج تجربی و شرایط آزمایشگاهی هماهنگی داشته باشد. پس از وارد کردن داده‌های لازم، مدل در یک شرایط ناپایا اجرا شد و نتایج در فایل‌های Reactor_2.ctz، Reactor_1.ctz و ... ذخیره گردید.

از مدل انتقال پراکندگی-پهنه‌رفت (advection-) و شیوه انتگرال‌گیری زمانی (dispersion) استفاده شده است. تعداد تکرارها جهت گرفتن جواب مطلوب ۲۰۰ انتخاب شد. تعداد گام‌های زمانی ۸ انتخاب شد. برای نادیده گرفتن اثر پراکندگی هیدرودینامیکی (D)، ضرایب پراکندگی طولی و عرضی یک عدد بسیار کوچک (10^{-20} mm) انتخاب شدند. ضریب نرخ کاهش ماده رنگزا توسط رابطه زیر به نیمه عمر تخریب ماده رادیو اکتیو تبدیل شده و توسط پنجره "KeyIn material properties" به مدل داده شده است.

نتایج

شکل ۵ نتایج آزمایشگاهی و پیش‌بینی‌های مدل برای تصفیه پساب‌های حاوی رنگ‌زای C. I. Reactive Orange 107، برای غلظت آب اکسیژنه ۳۰۰ میلی گرم بر لیتر و در یک طیف جذبی ۴۱۱ نانومتر مقایسه می‌نماید.

شکل ۵ نتایج آزمایشگاهی و پیش‌بینی‌های مدل برای تصفیه پساب‌های حاوی رنگ‌زای C. I. Reactive



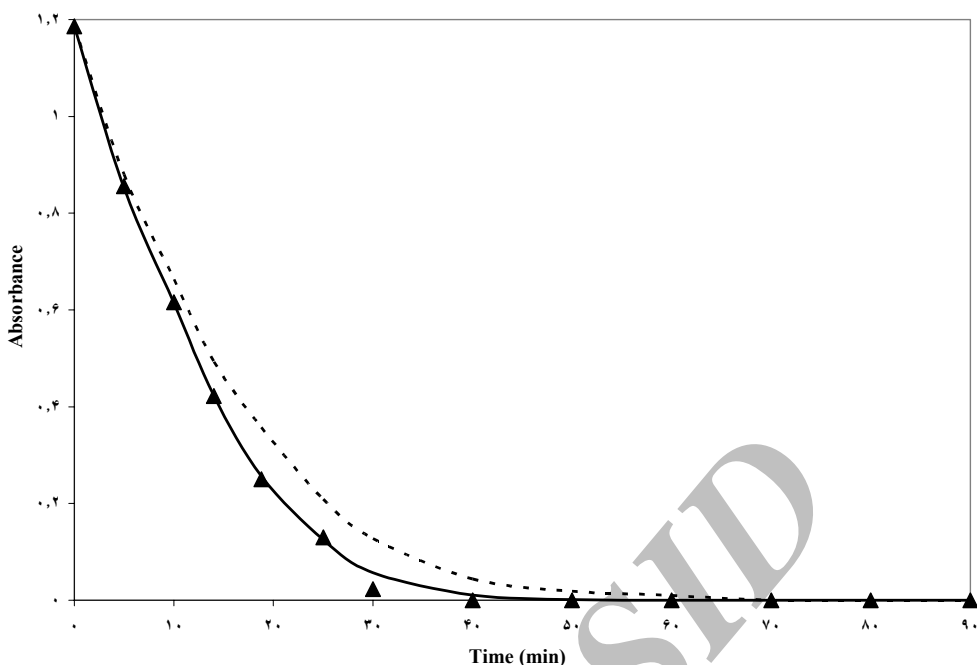
شکل ۵- مقایسه نتایج مدل‌سازی و داده‌های تجربی برای تصفیه پساب‌های حاوی رنگ‌زای C. I. Reactive Orange 107، برای غلظت آب اکسیژنه ۳۰۰ میلی گرم بر لیتر و در یک طیف جذبی ۴۱۱ (▲ داده‌های تجربی و — نتایج مدل‌سازی).

آب اکسیژنه ۴۵۰ میلی گرم بر لیتر و در یک طیف جذبی ۴۱۱ نانومتر مقایسه می‌نماید. نرخ کاهش غلظت (k)، $487 \text{ l}/\text{min}$ است. در این مثال در طول مدت شبیه‌سازی k ثابت فرض شده است. نتایج شبیه‌سازی عددی و تحلیلی تطابق مناسبی با داده‌های تجربی در ۱۰ دقیقه پس از آغاز فرآیند رنگ‌بری دارند. از این زمان به بعد غلظت‌های پیش‌بینی شده توسط مدل‌های عددی و تحلیلی با غلظت‌های اندازه‌گیری شده تفاوت دارند. این موضوع بیانگر این واقعیت است که سرعت واکنش احتمالاً از مرتبه ۲ است که در تحقیق بعدی بررسی خواهد شد.

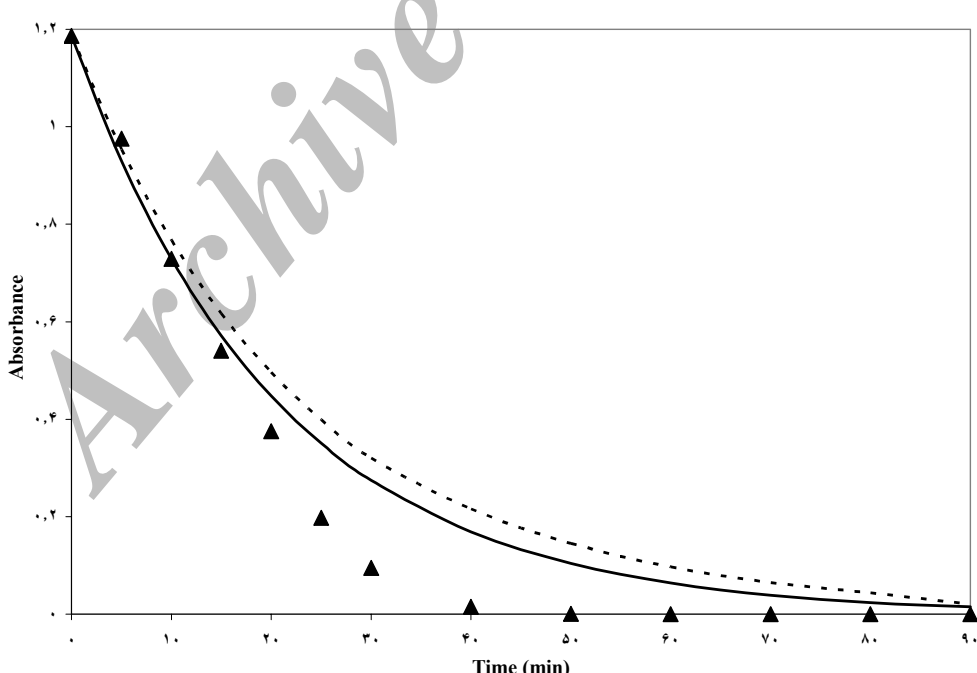
در شکل ۶ پیش‌بینی‌های مدل و اندازه‌گیری‌های تجربی یادشده با داده‌های به دست آمده از حل تحلیلی رابطه ۳ مقایسه شده است که توافق کاملاً نزدیک بین نتایج سه روش مشاهده می‌گردد. معادله تحلیلی مذکور به قرار زیر است (۱۷):

$$C(x, t) = C_0 \exp(-k t) \quad (7)$$

شکل ۷ نتایج آزمایشگاهی و پیش‌بینی‌های مدل‌سازی عددی و مدل تحلیلی برای تصفیه پساب‌های حاوی رنگ‌زای C. I. Reactive Orange 107 برای غلظت



شکل ۶- مقایسه نتایج مدل سازی عددی، داده های تجربی و فرمول تحلیلی برای تصفیه پساب های حاوی رنگ زای C. I.، برای غلظت آب اکسیژنه ۳۰۰ میلی گرم بر لیتر و در یک طیف جذبی ۴۱۱ (▲ داده های تجربی، — حل تحلیلی و ... حل عددی).



شکل ۷- مقایسه نتایج مدل سازی عددی، داده های تجربی و فرمول تحلیلی برای تصفیه پساب های حاوی رنگ زای C. I.، برای غلظت آب اکسیژنه ۴۵۰ میلی گرم بر لیتر و در یک طیف جذبی ۴۱۱ (▲ داده های تجربی، — حل تحلیلی و ... حل عددی).

منابع

۱. آرامی، م؛ محمودی، ن.م؛ یوسفی لیمایی، ن. و سلمان تبریزی، ن؛ اردیبهشت ۱۳۸۳، پنجمین کنگره ملی مهندسی نساجی ایران، دانشگاه صنعتی امیر کبیر.
2. Georgiou, D., Melidis, P., Aivasidis, A., and Gimouhopoulos, K. (2002). Degradation of azo-reactive dyes by ultraviolet radiation in the presence of hydrogen peroxide. *Dyes and Pigments*, 52, 69-78.
3. Hachem, C., Bocquillon, F., Zahraa, O., and Bouchy, M. (2001). Decolourization of textile industry wastewater by the photocatalytic degradation process. *Dyes and Pigments*, 49, 117- 125.
4. Wu, J., Eiteman, M.A., and Law, S.E. (1998). Evaluation of membrane filtration and ozonation processes for treatment of reactive dye wastewater. *Journal of Environmental Engineering*, 124, 272- 277.
5. Zahraa, O. Chen, H. Y., and Bouchy, M. (1999). Photocatalytic degradation of 1,2-dichloroethane on suspended TiO₂. *Journal of Advanced Oxidation Technology*, 4, 167-173.
۶. آرامی، م، محمودی، ن.م، سلمان تبریزی، ن، بحرینی، ذ. "رنگبری و تجزیه فتوکاتالیزوری رنگزای راکتیو قرمز ۱۹۸ با فرآیند UV/TiO₂/H₂O₂"، ۲۹ مهر تا ۱ آبان ۱۳۸۲، هشتمین کنگره ملی مهندسی شیمی، دانشگاه فردوسی مشهد.
۷. آرامی، م، یوسفی لیمایی، ن، محمودی، ن.م، سلمان تبریزی، ن. "رنگبری رنگزاهای مستقیم ۲۲ و قرمز ۸۰ از پساب‌های نساجی توسط جاذب طبیعی پوست پرتقال"، ۲۹ مهر تا ۱ آبان ۱۳۸۲، هشتمین کنگره ملی مهندسی شیمی، دانشگاه فردوسی مشهد.
8. Chen, H.Y., Zahraa, O., and Bouchy, M. (1999). Inhibition by inorganic ions of the adsorption and the photocatalytic

نتیجه گیری

حذف مواد رنگی و آلاینده‌های فلزی موجود در پساب‌های صنعتی خصوصاً صنایع نساجی، قبل از تخلیه آنها به منابع آب‌های سطحی و یا زیرزمینی از موضوعات بسیار مهم زیستمحیطی به شمار می‌رود. در این مقاله فرآیند رنگبری فتوکاتالیزوری رنگزای ۱۰۷ C. I. Reactive Orange 107 یک فتوراکتور ناپیوسته مورد بررسی قرار گرفته است. همچنین با استفاده از ترکیبی از نرم‌افزارهای W/SEEP/W و CTRN/W با استفاده از ترکیبی از نرم‌افزارهای W/SEEP/W و CTRN/W به روش عددی اجزای محدود فرآیند رنگبری رنگزای راکتیو از پساب‌های نساجی شبیه‌سازی شده است. پیش‌بینی‌های مدل‌سازی عددی با نتایج آزمایشگاهی و نتایج حاصل از حل تحلیلی مدل، مقایسه و هماهنگی قابل قبولی بین نتایج سه روش حاصل شد. مطالعات تجربی نشان داد که سینتیک رنگبری و تجزیه رنگزای مورد بررسی از مرتبه اول پیروی می‌کند. به علاوه سرعت رنگبری در غلظت آب اکسیژنه ۳۰۰ mg/l به مقدار حداقل خود می‌رسد. از تلفیق نتایج مدل‌سازی و داده‌های تجربی می‌توان نتیجه گرفت که در اوایل فرآیند رنگبری توافق خوبی بین مقادیر شبیه‌سازی شده و اندازه‌گیری شده به دست آمده است. با گذشت زمان اختلاف زیاد شده به طوری که در مراحل نهایی فرآیند حذف رنگ به بیشترین مقدار خود می‌رسد. قدر مسلم آن است که غلظت آب اکسیژنه به عنوان عامل اکسید کننده با گذشت زمان کاهش یافته و احتمالاً سرعت واکنش از مرتبه ۲ است که نیاز به بررسی بیشتر دارد. به نظر می‌رسد که فرآیند تجزیه فتوکاتالیزوری توانسته است تا رنگزاهای سیباکرونی را تجزیه کرده و به مواد معدنی همچون آب، دی اکسید کربن و اسیدهای معدنی تبدیل نماید. ذکر این نکته لازم است که استفاده از چنین مدل‌هایی می‌تواند ما را در پیش‌بینی بسیاری از پیامدهای زیستمحیطی باری نماید. به کمک این مدل‌ها می‌توان نحوه اجرای روش‌های تصفیه و کم کردن اثرات آلودگی را طراحی، بهینه‌سازی و دقیقاً پیش‌بینی نمود.

- stream affected by acid mine drainage. *Hydrological Processes*, 15, p.1979-1992.
14. Chakraborty S., De S., DasGupta S. and Basu J.K. (2005). Adsorption study for the removal of a basic dye: experimental and modeling. *Chemosphere*, 58, 1079-1086.
 15. GEO-SLOPE International, Ltd. (2002). SEEP/W for finite element seepage analysis, <http://www.geo-slope.com/products/seepw.asp>
 16. Doulati Ardejani F., Singh R.N., Baafi E.Y. and Porter I. (2003). A finite element model to: 1. Predict groundwater inflow to surface mining excavations. *Journal of the International Mine Water Association (IMWA)*, 22, 31-38.
 17. Doulati Ardejani F., Singh R.N., Baafi E.Y. and Porter I. (2003). A finite element model to: 2. Simulate groundwater rebound problems in backfilled open cut mines. *Journal of the International Mine Water Association (IMWA)*, 22, 39-44.
 18. Reddi, L.N. and Inyang, H.I. (2000). *Geoenvironmental engineering principles and applications*, Marcel Dekker, Inc., New York, 494p.
 - degradation of organic contaminants in TiO₂ aqueous suspension. *Journal of Photochemistry and Photobiology A: Chemistry*; 108, 37-44.
 9. Edwards, J.S., Ren, T.X. and Jozefowicz, R. (1995). Using computational fluid dynamics (CFD) to solve mine safety and health problems. APCOM xxv 1995, Technical Proceedings, Application of Computers and Operations Research in the Minerals Industries, Brisbane, Australia, 9-14 July 1995, 41-47.
 10. Doulati Ardejani, F., Singh R.N., and Baafi E.Y. (2002). A numerical finite volume model for prediction of pollution potential of open cut mine backfill. 6th Annual Environmental Engineering Research Event 2002 conference, Blackheath NSW, Australia, ISBN: 0-9580158-1-3.
 11. Singh, R.N., and Doulati Ardejani, F. (2003). Evaluation of factors affecting pyrite oxidation and subsequent pollutant generation in backfilled open cut coal mines. 8th International Congress on Mine Water and the Environment, Johannesburg, South Africa, 19th – 22nd October 2003, 173-186.
 12. Nitzsche, O. and Vereecken, H. (2002). Modeling of sorption and exchange processes in column experiments and large scale field studies. *Mine Water and the Environment*, 21, 15-23.
 13. McKnight, D.M., Kimball, B.A. and Runkel, R.L. (2001). pH dependence of iron photoreduction in a rocky mountain